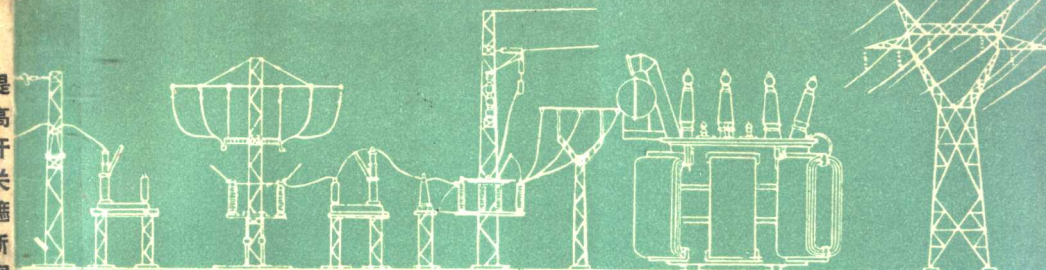




水利电力出版社



全国供电技术会议文件

3

提高开关遮断容量

60102

內 容 提 要

本書是全國供電技術會議文件之三，內容包括提高44千伏富士多油开关、23千伏开关、11千伏FH-6型少油开关、6.6千伏日立SY-10MA型多油开关遮断容量的具体方法和实际經驗，全國供電技术會議關於提高开关遮断容量問題的总结，以及用刀閘切斷空載變壓器的經驗總結。

本書可供電力系統和工業企业的供电和发电人員在进行原有开关增容工作时参考。

* * * *

全國供電技术會議文件

- | | |
|--------------|-----------------|
| 1.全國供電技术會議文件 | 6.提高供電網的运行水平 |
| 2.綫路升压 | 7.送電綫路的串聯電容補償 |
| 3.提高开关遮断容量 | 8.“兩綫-地”制電力網的試驗 |
| 4.提高變壓器出力 | 9.農村供電網 |
| 5.供電網的基建設計 | |

1958

全國供電技术會議文件

3

提 高 开 关 遮 断 容 量

全國供電技术會議秘書處編

*

1722D478

水利电力出版社出版（北京西郊科學路二里溝）

北京市審刊出版委員會許可證出字第105號

水利电力出版社印刷厂排印 新华书店发行

*

850×1160毫米开本*21^{1/2}印张*47千字*定价(第9类)0.38元

1958年12月北京第1版

1958年12月北京第1次印刷(0001—8,100册)

目 录

I . 关于提高开关遮断容量問題的总结.....	2
II . 44千伏富士多油开关遮断容量的提高.....	2
一、灭弧裝置的改善	5
二、触头的改善	8
三、运动特性的改善	10
四、遮断試驗及結果	25
五、改造的經濟性	28
六、結論	28
III . 23千伏少油和多油开关遮断容量的提高.....	29
一、上海23千伏油开关的一般情况	29
二、奇异FH-6型油开关短路試驗結果	31
三、茂偉K5型油开关的改进.....	34
四、今后的工作計劃	35
IV . 11千伏FH-6型少油开关遮断容量的提高	36
一、遮断能力的提高	36
二、閉合短路工作能力的提高	39
V . 6.6千伏日立 SY-10MA型油开关遮断容量的提高	46
一、SY-10MA型开关的綜合分析及改造方案的确定	48
二、改造措施方案	49
三、开关的具体改造及試驗	60
四、結論	62
VI . 用刀閘切斷空載變壓器的經驗結总.....	63
一、意义	63
二、用方式	63
三、环境条件的影响	65
四、測得的主要結果	67
五、結論	68

I. 关于提高开关遮断容量問題的总结

全国供电技术会议开关增容专题小组

(见1958年全国供电技术会议文件1第14页)

II. 44千伏富士多油开关遮断容量的提高

辽吉电業管理局

近几年来，系统发电容量日益增加，电网短路功率也相应地随同上涨。仅辽吉电网中，即有相当数量的开关急待更换。要在较短的时间里更换相当数量的开关，显然无论从经济上、时间上、以及货源上来看，都不是一件简单的事情。

众所周知，开关系量的提高，同灭弧装置、操作机构分合闸特性以及导电回路的改善是分不开的。旧有开关容量之所以不高，主要是受到当时技术水平的限制，设计时往往考虑不够周全。因此，在旧有开关原有结构上作合理的改进，短期停电进行检修重装，以提高开关的遮断容量，将是解决电网运行中开关遮断容量不足的根本方法。

日本富士工厂制造的多油开关，占辽吉电网44千伏系统旧有开关总数的70%。这类开关按遮断容量基本上可以分为400兆伏安和1,500兆伏安两级(见表2-1)。文献及运行经验表明，旧日本开关不仅遮断能力不能达到厂家规定的名牌要求，且对~~其~~安全起积极作用的重合闸也缺乏保证。

根据电网发展需要，开关遮断能力应分别提高至1,000～2,500兆伏安。因此我们即着手进行提高遮断容量工作。

对旧有结构的分析验算表明，A、B二级开关的套管、导电回

表 2-1

級 別		A	B
額 定 电 壓 (千伏)		46	46
額 定 电 流 (安)		600	600
遮 斷 容 量 (兆伏安)		400	1,500
触 头	型 式	平面片狀梅花触头	平面片狀梅花触头
	每相数量(对)	2	4
灭 弧 裝 置	簡單灭弧室	其中二对为彈性灭弧室，另二对无灭弧室	
操 作 机 構	电磁式，馬达式	电磁式，汽动式	
触头閉合接触瞬时速度 (公尺/秒)	1.25	0.9	
触头分离瞬时速度 (公尺/秒)	0.78	0.7	

路、油箱，傳动机構和絕緣拉杆，都能分別滿足遮斷容量提高至1,000~2,500兆伏安后的电动稳定、热稳定以及机械强度的要求。

这类开关的薄弱环节是：

1. 灭弧裝置 A 級开关原有灭弧裝置是一个簡單灭弧室(图2-1)，这种灭弧室的缺点，不仅在切断短路电流时由灼热的游离气体进行吹弧，去游离作用不够有效可靠(因为在切断小电流时，灭弧室内压力不大，去电离作用不强，往往使熄灭电弧时间拉長，甚至有时不能熄灭电弧)，而其更大的缺点是充油时间过長，不能滿足重合閘要求。

B 級开关有二对触头安設彈性灭弧室(图2-2)，另二对触头无灭弧室，四对触头串联組成了灭弧裝置。原灭弧裝置結構为了弥补开断短路电流时触头間的发弧电位梯度不足，所以附加了二对无灭弧室的触头。但是这种布置，当其遮斷容量提高后，二对无灭弧室的触头在切断短路电流时产生的压力，將使油箱的負担更为沉重。运行証明，在目前的容量下个别地区已发现开关油箱有局部变形。

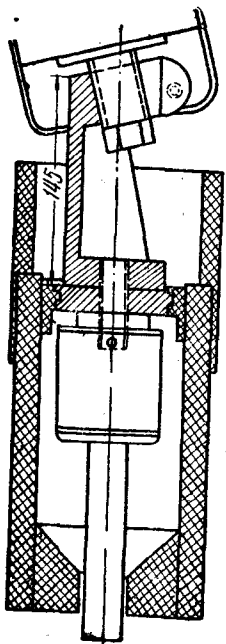


图 2-1

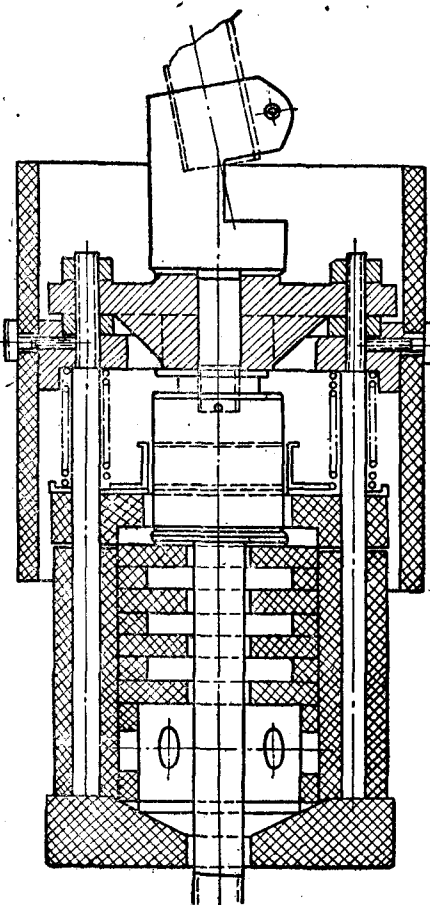


图 2-2

2.触头 *A* 级和 *B* 级开关的原有触头，采用了平面触片梅花触头(图2-3)。这种触头的优点是触头闭合时接触点数多，接触电阻小。缺点是：1)触片太小，容易被电弧烧坏，不宜作为灭弧触头；2)触头用铜—铜材料作成，闭合短路电流时的熔焊电流小；3)触片同静触头支座联接脆弱。原触头结构一般在短路电流为10千安左右时，尚能勉强使用，但如超过此一数值，触头性能

就不能胜任。

3. 运动特性 原运动特性参数見表2-1。原分閘运动特性，是当遮断容量提高后，將使灭弧室内压力增高，导致开关爆炸。原合閘运动特性，是当遮断容量提高后，电动力以平方比例增加，开閘彈簧强化；这将使开关无法进行閉合短路电流的工作，甚至发生触头焊結，从原运动特性显見，在提高遮断容量时，必須加以改善。

由上述分析可見，这类开关欲提高遮断容量，应从灭弧裝置、触头和机构运动特性三方面进行改善。

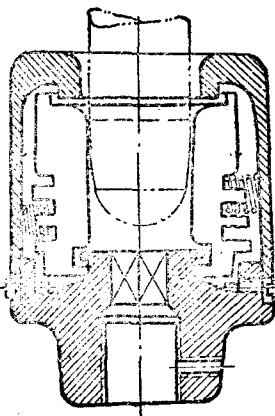


图 2-3

一、灭弧裝置的改善

旧有开关的灭弧裝置落后，是遮断容量很低和不能适应重合閘工作的主要原因。在研究提高旧有开关的遮断容量时，首先要考慮到的是應該如何改善灭弧裝置結構。

一个滿意的灭弧裝置应是遮断能力高，能成功地开断小电感性和电容性电流，并使灭弧裝置內充油时间减至最低，以滿足重合閘要求。

比較現有各种自激灭弧裝置的結構，选定下述二种灭弧裝置作为改善原灭弧裝置的結構。

1. 橫吹灭弧室 橫吹灭弧室(图2-4)是当前3~40千伏电压級遮断能力最高的一种自激灭弧裝置。这种灭弧室在触头分開时，触头間产生电弧，將油分解成气体，使灭弧室内压力增高；当触头分离至噴口时，气体和油从噴口吹出，此时一方面产生剧烈的去电离作用，另一方面將电弧拉長，电弧很快的即被截断熄灭。这种灭弧室的特点，是灭弧室内附設了空气緩冲室，有了这个元件，当短路电流的大小变劲时，由于空气具有可压缩性，从

而有效地减少灭弧时压力的变动，这对熄灭电弧非常有利。同时，灭弧室結構考慮到当分閘速度提高后有效地熄灭小电流，在灭弧室下部加設了一段縱吹元件。这种灭弧室的另一特点，是控制缓冲室空气体积的小孔位置偏于一旁，这較 MKII-35 型緩冲室小孔位置正对着电弧作用致压缩的油流出孔口有利得多。因为 MKII-35 型灭弧室小孔的位置，在灭弧时使强烈的油流或气流从孔口噴出，这对維持灭弧室内具有一定压力是不利的。而图 2-4 所示 MKII-35-Y 型橫吹灭弧室的小孔偏于一傍，油流或气流比較緩和，同时亦减少对鋼筒的冲击力。苏联已用此型灭弧室成功地切断了33千安的短路电流。

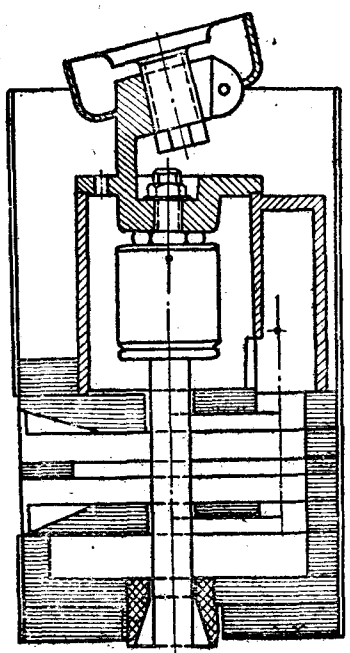


图 2-4

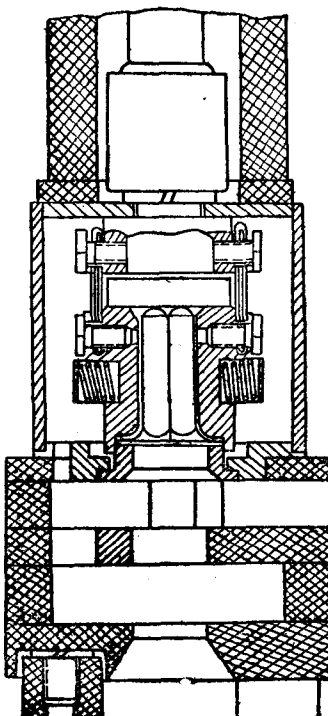


图 2-5

从今后电力系统跃进发展形势来看，短路电流势将更急剧上涨，而横吹灭弧室的遮断能力有很大的潜力可挖。最近苏联改进后的新型横吹灭弧室结构，已将钢筒附加容积全部取消，灭弧时间缩短至 $\frac{1}{2} \sim \frac{1}{4}$ 周波，灭弧室的机械强度加强了一些。采用这种改良后的灭弧室，气体压力将较前增加（大电流时可达50个大气压），因此弧隙上只有出现很高的过电压时方可击穿，通常是不会击穿的。由于取消了钢筒的附加容积，灭弧时产生的大压力，首先发生气体吹弧，好象空气开关，在电流经过固有零点时正好有新鲜的油流过。如适当地选择这种灭弧室，将使遮断容量提高一倍。图2-5是这种灭弧室各电压等级中的一种结构。

2. 弹性灭弧室 弹性灭弧室(图2-2)是纵吹灭弧室中优良结构之一。

这种灭弧室当触头分开后，触头间产生电弧，将油分解成气体，使灭弧室许多圆盘间的小室中产生很大压力，当压力达到足够压缩弹

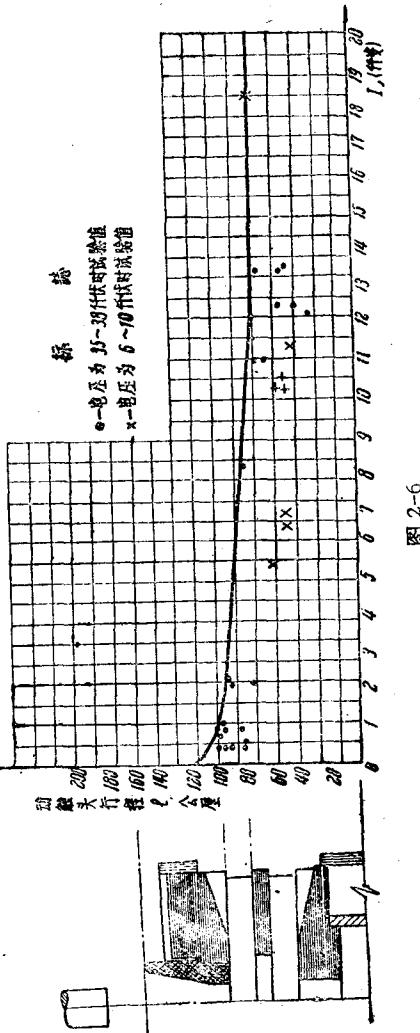


图2-6

簧的数值时，圆盘即被托起，在圆盘之间形成缝隙，发生纵向吹弧，使电弧很快熄灭。弹性灭弧室的特点是电弧燃焼时间较短，而且开断大电流时，圆盘可防止灭弧室发生过大压力；开断小电流时，因为喉管与动触头之间缝隙很小，故能产生足够压力熄灭电弧。⁹但其缺点在于灭弧过程中弧隙间缺乏新油补充，发弧电位梯度势較橫吹灭弧室低些。

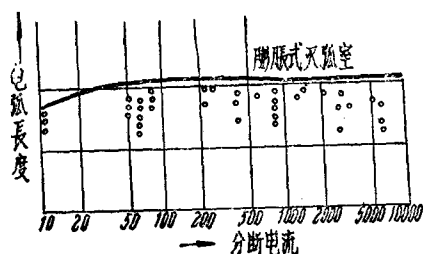


图 2-7

图 2-6 为 MKII-35-Y 型横吹灭弧室开断电流特性曲线，图 2-7 为弹性灭弧室开断电流特性曲线。从曲线中可以看出二种灭弧室开断大、小电流的性能都是良好的。

比較二种灭弧室結構，

橫吹灭弧室的遮断能力較彈

性灭弧室优越。而弹性灭弧室因发弧电位梯度較低，遮断容量不能超过1,500兆伏安。

为提高遮断容量选择灭弧室时，必須考慮灭弧室合理的調配使用，从而降低改造費用。

因此，富士开关的灭弧室选定如下：

A 級开关选用原弹性灭弧室，不足之数采用 MKII-35-Y 型横吹灭弧室；

B 級开关选用 MKII-35-Y 型横吹灭弧室或无附加容积的新型横吹灭弧室。

二、触头的改善

触头是开关重要元件之一，也是开关中工作条件最困难、最容易发生故障的元件。所以在提高开关遮断容量时，必須考慮到如何使触头性能滿足要求。

一个满意的触头結構，应是流过額定电流和短路电流时不超過允許溫度，在閉合短路故障时不发生熔焊，在多次切断短路电

流旨触头燒伤程度应不影响开关的正常工作。

特別應該指出：触头結構性能的优劣，同样是决定开关遮断性能主要因素之一。因此用熔点較低的金属材料制成的触头，在开断短路电流时的高温电弧作用下，金属蒸汽和熔化的金属颗粒充满弧隙，会降低开关的发弧电位梯度，削弱遮断能力，甚至引起連續点弧，終至不能熄灭电弧。

比較各种梅花触头的結構，以瓣式梅花触头的性能最为优越。因为这种触头不仅触片数量少，质量大，而且触片同支座的联結是利用軟銅片作固定联結，接触十分可靠。

图 2-8 是改进后的触头結構。这种触头結構，是在BMT-133型少油开关瓣式梅花触头結構的基础上修改而成的。

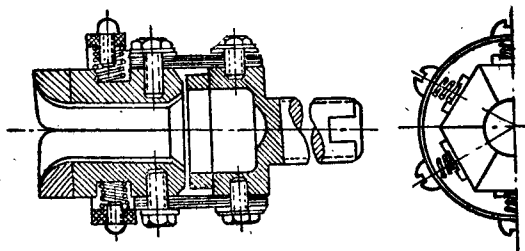


图 2-8

改进后的瓣式梅花触头，同 BMT-133 型梅花触头不同之处是：

1.按灭弧室喉口及原动触头直径(27公厘)，将静触头尺寸作了相应的增大，触头压力維持不变(8公斤)。

2.在触片及动触头端头加裝鎢銅合金，提高触头閉合时的熔焊电流，防止开断时触头燒伤，减少灭弧时金属蒸汽和颗粒产生的不良影响。

瓣式梅花触头在短路状态下通过短路电流能否熔焊，取决于触片同动触头通过接触点产生的电动斥力和触片之間产生的电动吸力誰战胜誰的問題。

瓣式梅花触头电动力的計算，尚未找到精确可靠計算方法。

一般驗算可采用下列公式进行估算。

$$F = 4.08 \frac{n-6}{n^2} - \frac{l}{d} \left[\frac{1.5}{1 + \frac{h}{d}} - \frac{1}{\left(1 + \frac{h}{d}\right)^2} \right] I^2 \cdot 10^{-8} \text{ (公斤).}$$

式中 n ——触片数量，6片；

l ——触片長度，取4公分；

h ——触片寬度，取1.26公分；

d ——动触头直徑，取2.7公分。

在我們的計算中采用了下列数据：

n_0 ——接触点数，取3；

σ_0 ——触头金屬抗压强度，取5,000公斤/公分²；

q_0 ——接触面积(每触片)，取5.04公分²；

F_s ——触面压力，取3.5公斤；

I_0 ——通过触片的短路电流 $\frac{1}{6}$ 。

計算表明改进后的梅花触头，在短路状态下通过短路电流时，触片間电动吸力大大的大于电动斥力，触片不致彈开，也不会因电动应力产生熔焊。文献介紹：同型触头实地断流試驗結果表明，触头在32千安甚至40千安短路状态下工作十分可靠，同时由于采用了有高耐弧性能的鎢銅合金端头，大大地降低了弧隙的金屬蒸汽和顆粒，有效地減輕了灭弧室的灭弧負担，而且触头端面燒損率也大大降低。从而大大提高了触头的使用寿命，延長了檢修周期。

三、运动特性的改善

开关的分合閘运动特性，在提高遮断容量工作中起着基本作用。从旧有开关一般情况来看，其动作时间一般均較緩慢，因此在开关改造工作中，运动特性的改善將是一項較为繁重的工作。

一个滿意的开关运动特性，应是在正常短路情况下都能正确无誤地进行开断和閉合动作，同时并將自動重合閘動作縮至最短時間。

日本富士开关有气动、馬达、电磁三种傳动裝置，其中电磁式数量最多，馬达式最少。鑑于电磁式傳动裝置在电网旧有开关中占絕對多数，具有普遍的意义，因此，在富士多油开关改造工作中选定了电磁式傳动裝置作为改造对象。

1. 分閘运动特性的改善 开关分閘特性，取决于灭弧室灭弧性能的要求。自激灭弧裝置的灭弧原則，是依靠电弧自身产生的能量来熄灭电弧。因此，分閘运动特性必須同时考虑大小电流的灭弧問題。

在大电流情况下熄灭电弧，主要取决于触头分离的瞬时速度。如果速度过慢，电弧持續時間過長，电弧产生的能量大，灭弧室內压力高，就有可能引起灭弧室机械强度承受不了終致爆炸的危險。

在小电流情况下熄灭电弧，由于电流小，短時間內灭弧室压カ不高，为了熄灭电弧，必須通过一段不短的距离后，灭弧室具备了一定压力，同时由于距离拉長，弧隙击穿电压亦相应升高，电弧即被熄灭。所以熄灭小电流电弧，对控制触头分离的瞬間速度意义不大，更主要的应是触头分閘速度連續控制的問題。

由此可知，大电流灭弧决定触头分离的瞬时速度，小电流灭弧决定于触头分閘速度的連續控制。

分析大电流情况下灭弧时产生的能量可知，电弧能量主要决定于电流数值的大小，而同线路电压基本无关。

1)触头分离瞬时速度的确定 开关触头分离瞬时速度总有其一定范围，其上限主要是考慮机构强度，合閘功率，油的粘度影响等因素；而其下限主要是如何滿足最低熄灭电弧的要求。

在灭弧室型式相同而遮断容量不同时，为了达到維持灭弧室压力不变，分閘触头分离瞬时速度 v_0 可按下式确定：

$$\frac{I_{omk_0}}{v_0^n} = K \quad v_0 = v_1^n \sqrt{\frac{I_{omk_0}}{I_{omk_1}}}$$

以 MKII-35型开关不同容量的分閘触头分离瞬时速度数据驗算，求得 MKII-35型横吹灭弧室的 n 值为 3.165。

这样根据 $v_0 = v_1^n \sqrt{\frac{I_{omk_0}}{I_{omk_1}}}$ 公式，分別求得开关遮断容量

提高后的触头分离瞬时速度 v_0 (下限)。

遮断容量提高至1,000兆伏安时 v_0 为1.39公尺/秒。

遮断容量提高至2,500兆伏安时 v_0 为1.85公尺/秒。

2) 提高开关分闸运动特性的方法 开关分闸速度特性可用下式表示:

$$v_h = \sqrt{\frac{2}{\sum M_n} \int_0^h F_n dh}, \quad F_n = F_{np} + G - F_T.$$

式中 $\sum M_n$ ——总的归化质量;

h ——行程;

F_n ——总的归化力;

F_{np} ——弹簧作用力;

G ——重力;

F_T ——摩擦力。

从上式可見，提高分闸速度的途径应是：(1)增加弹簧作用力；(2)降低总的归化质量；(3)增加触头接触行程；(4)降低摩擦力。

增加弹簧作用力 在总的归化力中，弹簧作用力是最主要的作用力。从多油开关传动装置的动作原理可知，分闸弹簧在合闸过程中被压缩而储备能量，在开关分闸时传动装置脱扣，分闸弹簧储能释放，驱使触头分闸。由此可以看出，增加分闸弹簧作用力，一方面提高了分闸速度，另一方面也增加了合闸功率。因此增加弹簧作用力的滿意方法，应是滿足分闸速度要求，符合連續控制分闸速度以及將合闸所需的功降至最少。

使用在多油开关传动装置上的分闸弹簧有二种：一种叫做連續作用弹簧，这种弹簧从分闸开始释放能量，直至分闸结束能量釋放为零，此类弹簧有的具有初应力，甚至分闸结束后尚存有一定的能量。另一种弹簧叫做空程弹簧，这种弹簧从分闸开始释放能量，但当分闸尚未結束能量已釋放为零。

分析二种弹簧：(1)假設空程弹簧所作的总功 Δagi 等于連續作用弹簧所作的总功 Δdji (見图2-9a)。設 a 点为触头分离瞬

間位置，則空程彈簧所作的功 Δabc 將大于連續作用彈簧所作之功 Δdef ，亦即触头运动到 A 点位置时，空程彈簧作用触头产生的触头分閘速度，將大于連續作用彈簧产生的速度。由此可見，空程彈簧可以在影响合閘功率很小的条件下提高分閘速度。(2) 假設二种彈簧为了維持分閘触头分离瞬时速度相等(見图2-9)，令功 Δabc 等于功 Δaef ，但是連續作用彈簧所作的總功 Δabi 將大于空程彈簧所作的總功 Δaef 。从此可見，連續作用彈簧为取得触头分离瞬时速度，不仅合閘功率將大大增加，同时触头分閘的最大速度亦將提高。这将增加連續控制分閘速度的困难，并給分閘接近終了时吸收动能的緩冲裝置制造成了不利条件。从上面的分析可以認为空程彈簧較連續作用彈簧有利。

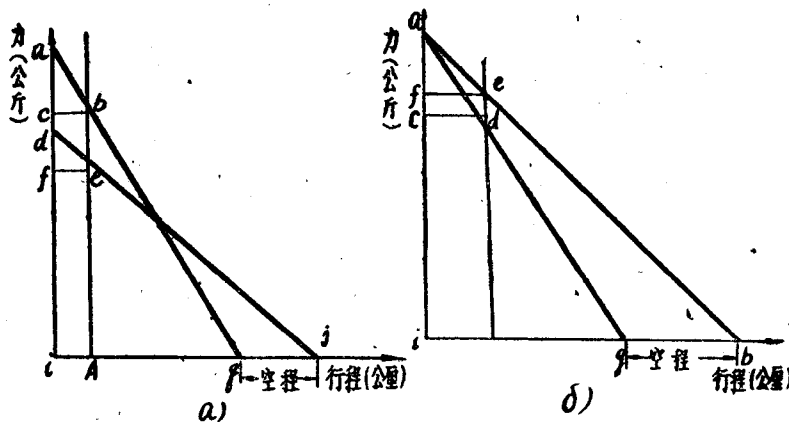


图 2-9

富士 A 級多油开关原分閘彈簧為連續作用彈簧，其布置見图2-10a；B 級多油开关原分閘彈簧為空程 弹簧，其布置見图2-10b。为了提高分閘速度，通过試驗确定將 A 級 开关分閘彈簧換为炭素鋼空程彈簧，它的鋼絲直徑是 6 公厘，有效圈数17圈，有效直徑26.5公厘，有效長度 102 公厘，空程52公厘。在 B 級 开关的二相联动机构箱內各添加炭素鋼彈簧族一組(見图2-10b 中的

虛線)，其中一組的鋼絲直徑是8公厘，有效圈數9圈，有效直徑54公厘，有效長度126公厘，壓縮44公厘；另一組的鋼絲直徑是5公厘，有效圈數14圈，有效直徑32公厘，有效長度120公厘，壓縮40公厘。

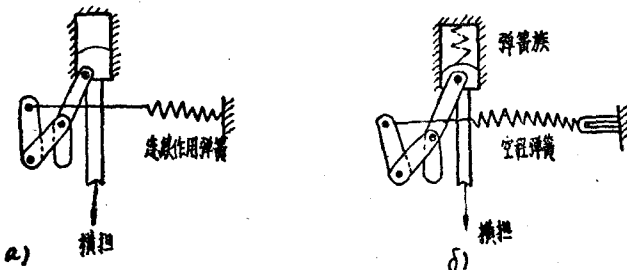


图 2-10

降低总的归化質量 从开关各部質量归化的結果来看，多油开关主要的注意点应是触头系統(銅触头、絕緣提升杆、橫担等)的質量，至于聯动機構彈簧等等，虽然亦应归化到总的質量內，但是与触头系統質量相形之下通常是很小的，尤其是旧开关的改造，一般很少包括改造聯动機構內容。因此考慮降低总的归化質量时，主要的措施是在滿足电动稳定及热稳定的条件下降低触头系統的質量。

降低触头系統質量的方法，一般是采用減輕动触头和橫担重量。从旧开关結構来看，不在少数的触头系統的截面偏大，例如富士开关有的动触头直徑为27公厘，是实心触头。驗算指出，即便是提高遮断容量至2,500兆伏安，动触头热稳定对直徑的要求也仅需23公厘。

按灭弧要求，在确定提高B級开关分閘速度措施中削除了二对动触头，拆去了不必要的橫担，并在維持动触头27公厘直徑的条件下，沿触头中心車去12公厘，共約降低触头系統質量 $\frac{1}{2}$ 。根据在其他条件不变的情况下实測的結果，分閘触头分离瞬时速度增高了約 $\frac{1}{2}$ 倍。当然，由于削除了不必要的橫担和触头，附帶亦相应地降低了油的阻力。

~~式中，显见增加触头接触行程将使分闸速度提高。~~

應該指出，这种方法只适合开关提高遮断容量不高、且合闸功率有足够裕量的情况下采用，因为开关闭合电流时在横担上产生的电动力是按 $F = K_0(i)^2$ 的比例增漲的。可以想象，如果在短路电流为10千安和30千安两种情况下，30千安产生的电动力将为10千安的9倍，而在这种情况下增加触头接触行程，显然將使合闸所作的功大大增加，亦即給合闸工作構成了不利条件。

富士A級开关提高分闸速度的措施，就采用了这种方法，將触头端部作了修改(图2-11)，增加了接触行程 10 公厘(原触头接触行程为20公厘)。根据触头分离瞬时速度試驗，瞬时速度提高了1/5倍。

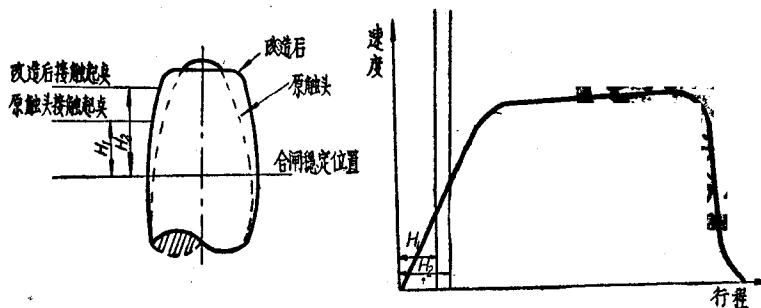


图 2-11

降低摩擦力 这里主要是指油阻力的降低問題。在富士开关改造中，虽然B級开关附帶地减少了一些油的阻力，但是并没有針對降低油阻力作一些实践的探討。應該說明，降低油阻力也是提高分闸速度的一个方面，所以在这里也簡要地介紹降低油阻力的一些主要途径。

油阻力的特性公式是：

$$F_T = av^2 = K \beta C_w \rho S v^2 .$$

式中 ρ ——油的密度；

β ——决定横担截面形状的系数；